



تحضير المركب $(\text{Ba}_{1-x}\text{Sr}_x\text{TiO}_3)$ النانوي بطريقة السول- جل ودراسة خصائصه الترکيبية

فاروق ابراہیم حسین قادر

فراس محمد طعمة عباس

قسم الفيزياء / كلية التربية للعلوم الصرفة (ابن الهيثم) /جامعة بغداد

استلم في: 5/تشرين الثاني/2015 ، قبل في: 31/كانون الثاني/2016

الخلاصة

حضر المركب النانوي ($Ba_{1-x}Sr_xTiO_3$) لقيم ($x=0.26, 0.28, 0.30, 0.32, 0.34$) باستعمال طريقة السول - جل وتمت دراسة الخواص التركيبية للمركب الناتج باستعمال فحص حيود الاشعة السينية (XRD) وكذلك المجهر الالكتروني الماسح (SEM). وأظهرت النتائج لجميع العينات المحضرة من خلال الفهرسة البرمجية لطيف حيود حيود الاشعة السينية انها تمتلك الطور الرباعي ولا توجد اطوار اخرى ظاهرة وان عملية استبدال ايون (Sr^{+2}) بدل ايون (Ba^{+2}) لم يغير طور المركب ، كما تبين ان زيادة تركيز ايون (Sr^{+2}) ادى الى نقصان ثوابت الشبكة (c,a) ومن ثم نقصان حجم خلية الوحدة كما ان الحجم الحبيبي المحسوب من معادلتي ديباي شرر وليلامسون-هول والكتافة المحسوبة من طيف حيود الاشعة السينية تنقص بزيادة تركيز ايون (Sr^{+2}). ومن خلال صور المجهر الالكتروني الماسح تبين ان حبيبات المسحوق المحضر تتخذ شكلا شبيه الكروي .

الكلمات المفتاحية :- باريوم سترونتيوم تيتانيت ، السول - جل , SEM, XRD, تصفيه ريتقوليد .



المقدمة

ازداد الاهتمام بتحضير ودراسة خصائص المواد النانوية في السنوات الأخيرة وذلك بسبب خواصها الكيميائية والفيزيائية المميزة والناتجة عن تأثير حجم الحبيبات لهذه المواد.^[1] تعد مادة تيتانيت الباريوم (BaTiO_3 or BT) وما شابهها من مواد متعددة التبلور مثل ($\text{Ba}_{1-x}\text{Sr}_x\text{TiO}_3$) لها نمط بلورات البيروفسكيت (Perovskite Crystals) ذات الصيغة العامة (ABO_3) من أشهر المواد الفيروكهريلانية (Ferroelectric Materials), إذ أن ($A = \text{Ba}, \text{Sr}, \text{Pb}, \dots$, $B = \text{Ti}, \text{Ta}, \text{Zr}, \dots$)^[2]. إذ تمتاز هذه المركبات باستقراريتها الكيميائية وتحملها لدرجات الحرارة العالية فضلاً عن ثابت عزتها العالي ومعامل الفقد المنخفض، كما ان الخواص الفيزيائية والكيميائية لهذه المواد تتأثر بشكل كبير بتركيبتها وحجمها الجببي وشكلها مما يزيد من امكانية استعمالها عمليا.^[1]

من مميزات مركبات التيتانيت هي امكانية الاستبدال الجزئي للذرات او الأيونات عند الموقع (A) كما في مركب تيتانيت الباريوم ذات التركيب رباعي عند درجة حرارة الغرفة ، عند استبدال أيون (Ba^{+2}) بأيون (Sr^{+2}) للحصول على مركب باريوم سترونطيوم تيتانيت(BST) $(\text{Ba}_{1-x}\text{Sr}_x\text{TiO}_3)$ إذ أن الأيونان المستبدل والبديل متماثل التكافؤ^[3]. عند تغير قيمة (X) أو تركيز أيون (Sr^{+2}) يصبح من الممكن الحصول على خواص نوعية لهذا المركب مثل الخواص الكهربائية والعزلية لأن عملية الاستبدال قد تكون مؤثرة في الخواص التركيبية وذلك اعتماداً على تركيز أيون (Sr^{+2}) لذا فهو يكون مؤثراً أيضاً في خواص المادة الأخرى كالخواص الكهربائية والعزلية لأن هذه الأخيرة تعتمد وبقوة على الخواص التركيبية والمجهريّة للمادة مثل الحجم الجببي (Density) والكثافة (Grain size) وغيرها.^[4]

يمتلك مركب باريوم سترونطيوم تيتانيت خواصاً مميزة يمكن الاستفادة منها في تطبيقات متعددة اذ يدخل هذا المركب في تصنيع اجزاء الالكترونيّة متعددة منها مختلف انواع المتساعطات عالية العزل (High Dielectric Capacitors), الكواشف (Detectors), المحسّنات البصرية (Sensors), المضمنات البصرية (Optical Modulators) وغيرها الكثير من التطبيقات.^[5] هناك طرائق متعددة استعملت في تحضير هذا النوع من مركبات التيتانيت فقد تم تحضيره أما بطريقة تفاعل الحالة الصلبة (Solid state reaction) أو باستعمال أحد الطرائق الكيميائية ومنها طريقة السول جل (sol-gel).

[6] ان الهدف من بحثنا هذا هو تحضير المركب النانوي ($\text{Ba}_{1-x}\text{Sr}_x\text{TiO}_3$) ودراسة تأثير قيم الاستبدال (X) في التركيب البلوري وبعض الخواص التركيبية الأخرى.

الجزء العلمي

تم استعمال الطريقة الكيميائية (السول-جل) في تحضير المركب النانوي ($\text{Ba}_{1-x}\text{Sr}_x\text{TiO}_3$) لقيم (x=0.26,0.3,0.32,0.28,0.26) وكانت المواد الاولية المستعملة في تحضير المركب هي أسيتات الباريوم (MERCK),($\text{Ba}(\text{CH}_3\text{COO})_2$), ونترات السترونطيوم ($\text{Sr}(\text{NO}_3)_2$),Riedel,المانيا,99%, وايزوبروبوكساید التيتانيوم (TCI) (C₁₂H₂₈O₄Ti) اليابان,99%, وحامض الخليك (C₂H₄O₂) الصين,STRT,99%, 2-ميثوكسي الايثانول (C₃H₈O₂),FREAK,المانيا,99%.

استعملت النسبة المولية (1:1 mol : Ti) لكل من (Ba,Sr) على التوالي ولجميع قيم (X) للعينات المحضره وبعد وزن كميات المواد المستعملة لكل عينة تم اذابة كل من اسيتات الباريوم في كمية مناسبة من حامض الخليك ونترات السترونطيوم في كمية مناسبة من الماء المقطر (Distilled water) كما تم خلط ايزوبروبوكساید التيتانيوم السائل مع كمية مناسبة من 2-ميثوكسي الايثانول وكل على حده باستخدام خلاط مغناطيسي (Magnetic stirrer) ثم خلطت المحاليل الثلاثة في دورق زجاجي كبير مقاوم للحرارة (Pyrex) مع ضبط دالة الحامض (pH) الى حين الوصول الى ما يقارب (5) وذلك بإضافة الماء المقطر عند درجة حرارة الغرفة وبعدها رفعت درجة حرارة التفاعل الى (120°C) وكانت هذه الدرجة ثابتة في تحضير جميع العينات بعد مدة بدأت الغازات بالتصاعد واستمر التفاعل مع التحريك لحين تحول السائل (sol) الى الشكل الهمام (gel) بعدها اخذ الدورق ووضع في فرن تم تسخينه مسبقاً عند درجة (120°C) لمدة (2h) لغرض تجفيف الجل ولضمان الحصول على الحرارة من جميع الجهات مما يضمن سرعة التجفيف من ثم اطفى الفرن وترك الى اليوم التالي ليبرد بعدها تم استخراج الجل الجاف من الفرن ثم طحن وجمع المسحوق في بودقة خاصة وادخل الى الفرن لمدة ساعتين عند درجة (900°C) لغرض الكلنسنة والحصول على الطور المطلوب وتم تحضير جميع العينات بالخطوات نفسها .

الخواص التركيبية

درست الخواص التركيبية للعينات المحضره باستعمال تقنية حيود الأشعة السينية (XRD) وكان الجهاز المستعمل من نوع SHIMADZU 6000، والباعث للأشعة السينية من نوع Cu-K_α (Cu-K_α) وطول موجي ($\lambda = 1.54 \text{ \AA}$) وبفولتيه (40KV) وتيار (30Ma)، وبمقارنة النتائج والبيانات التي تم الحصول عليها مع البطاقات القياسية العالمية (JCPDS)، كما تم دراسة تشكيل السطح للعينات باستعمال المجهر الإلكتروني الماسح (SEM).

تم حساب معلمات الشبكة (Lattice parameters) (a), (b) و (c) للتركيب رباعي باستعمال فسحة السطوح (d-spacing) للأشعة السينية وحسب المعادلة الآتية. [7]



وبحسب حجم خلية الوحدة V باستعمال المعادلة الآتية [8].

$$V = a^2 c \quad \dots \dots \dots (2)$$

وباستعمال العلاقة الآتية تم حساب الكثافة النظرية (ρ_{x-ray}) من طيف حيود الأشعة السينية [9].

$$\rho_{x-ray} = \frac{zM_{wt}}{N_a V} \quad \dots \dots \dots (3)$$

كما تم حساب الحجم الحبيبي باستعمال معادلة ديبي-شرر (Debye – Scherer) [10].
اذ ان Z عدد الذرات في خلية الوحدة و M_{wt} الكتلة المولية و N_a عدد افکادرو .

$$D_{sh} = \frac{k\lambda}{\beta \cos \theta} \quad \dots \dots \dots (4)$$

اذ ان k ثابت قيمته حوالي (0.9) , λ الطول الموجي الخاص بالهدف (Cu-K α) ويساوي (0.154 nm) , β اقصى عرض عند منتصف القمة (FWHM) يقاس بوحدة (rad) , θ زاوية سقوط الاشعة السينية (deg) . وكذلك تم حساب الحجم الحبيبي باستعمال معادلة ولیامسون – هول (Williamson-Hall), (DW-H) التي تأخذ بالحسبان الانفعال المجهرى (Micro strain) للشبكة البلورية [11].

$$\beta \cos\theta = K\lambda/D_{W-H} + [4\varepsilon \sin\theta] \quad \dots\dots\dots (5)$$

اذ ان ϵ : الانفعال المجهري (strain) و D_{W-H} الحجم الجيبي (nm), β اقصى عرض عند منتصف القمة (rad) زاوية سقوط الاشعة السينية (deg). k ثابت يساوي تقريباً 0.9.

فهرسة طيف حيود الاشعة السينية

هي احدى الطرائق التي يمكن استعمالها لاستخلاص المعلومات وتحديد معلمات خلية الوحدة من موقع القلم وهي تساعد في تفسير نموذج طيف حيود الاشعة السينية وذلك من خلال استعمال برمجيات معدة لذلك الغرض ومنها التصفية المعتمدة على تحليلات ريتفيلد (Rietveld Analysis). التي تستطيع ان تطور التركيب البلوري المفترض لكونها تعمل على تصفية المعلمات التركيبية لكنها لا تستطيع ان تضيف معلومات جديدة غير مجهز لها اصلا ، ومن خلال المعاينة البصرية للملائمة بين طيف الحيود الملاحظ والمحسوب يمكن معرفة مدى نجاح عملية التصفية كما انها تساعد في تحديد معلمات جديدة للتصفية تقود الى ملائمة جيدة تعمل على تطوير النموذج المفترض . من خلال علاقة رياضية لحساب الشدة ولتطور احادي وتغيرها بتغيير تحليلاً يتضمن تأثيرات أحجزة القفلس والمعلمات التركيبية [12].

$$y_{ci} = S \sum k L_k |F|^2 \emptyset(2\theta_i - 2\theta_i) O_k A + y_{bi} \quad \dots \dots \dots (6)$$

إذ ان y_{ci} الشدة المحسوبة عند النقطة (i) , k يمثل معاملات ميلر (hkl), L_k تضم عوامل لورنتر والاستقطاب وحد التعديدية, \emptyset دالة انعكاس الشكل الجانبي , O_k التوجيه التفضيلي , A عامل الامتصاص الذي يعتمد على سمك العينة وعلى هندسة الحيدر . V_{hi} قيمة الشدة الخلفية لعدد (i) من نقاط السبات .

ويتضمن برنامج التصفية عوامل موثوقة (R) (Reliability factors) أو المسماة أحياناً الاتفاق (Agreement) وهي المعيار الذي يساعد في الحكم على جودة عملية التصفية، من خلال اعطاء مؤشرات واضحة لمتابعة عملية التصفية وتعطى هذه العوامل على النحو الآتي:

أ- عامل موثوقية الشكل الجانبي (Profile reliability factor) الذي يعطى بالعلاقة الآتية [12,13]:

$$R_p = \frac{\sum_i |y_{oi} - y_{ci}|}{\sum_i y_{ai}} \quad \dots \dots \dots (7)$$

y_{oi} : الشدة الملاحظة والمحسوبة على التوالي y_{ci} .

بـ- عامل موثوقية الشكل الجانبي الموزون (Weighted profile reliability) الذي يعطى بالعلاقة الآتية:[13]

$$R_{wp} = \frac{\sum_i (y_{oi} - y_{ci})^2 w_i}{\sum_i (y_{oi})^2} w_i \quad \dots \dots \dots (8)$$



W_i عامل التوزين Weighing لنقطة i ويتم حسابه عند تلك النقطة بالعلاقة الآتية :

$$W_i = \frac{1}{y_{oi}} \quad \dots \dots \dots (9)$$

- عامل الموثوقية المتوقع (Expected reliability factor) اذا كانت الشدة الخلفية عالية فإن قيمة (R_{wp}) تصبح كبيرة نسبياً وللحصول على قيمة مثالية فإن (R_{wp}) يجب أن يقترب من عامل الموثوقية المتوقع الذي يعبر عنه بالعلاقة الآتية: [13,14]

$$R_{exp} = \left[(N - P) / \sum_i^N W_i y_{oi}^2 \right]^{1/2} \quad \dots \dots \dots (10)$$

N : عدد النقاط في طيف حيود المسحوق الملاحظ .

P : عدد المعلمات التي تجري تصفيتها.

ان قيمة (R_{exp}) تعكس نوعية البيانات المستخدمة ، لذلك فإن النسبة بين (R_{wp}) و (R_{exp}) تمثل جودة عملية الملائمة (Goodness of fit) التي يعبر عنها كما يأتي [14]:

$$\chi^2 = [R_{wp}/R_{exp}]^2 \quad \dots \dots \dots (11)$$

إذا كانت البيانات ذات جودة عالية فإن قيمة R_{exp} ستكون صغيرة وقيمة χ^2 عند اكمال عملية التصفية ستكون اكبر من الرقم (1).

النتائج والمناقشة

الأولاً . خصائص الطور : يبيّن الشكل (1) انماط حيود الاشعة السينية لجميع للعينات المحضرية، اذ اظهرت انماط حيود الاشعة السينية تشكيل الطور الرباعي (Tetragonal phase) كما يبيّن الشكل وجود ثمانية قمم واضحة تعود للسطح (100), (101), (102), (201), (211), (202), (103), (111) ضمن المدى الزاوي⁰ (80-10) وعند مطابقتها مع البطاقات الفياسية العالمية (JCPDS) تبيّن انها مطابقة للبطاقة الفياسية (44-0093)، وبذلك يتضح ان استبدال ايون $\text{Ba}^{(2+)}$ بالايون $(\text{Sr}^{(2+)})$ قد حافظ على الطور ولم يتغير الى طور اخر لجمع قيمة x .

ثالثاً. حجم خلية الوحدة ومعلمات الشبيكة : يبين الجدول رقم (3) نتائج كل من معلمات الشبيكة (a), (c), وحجم خلية الوحدة (V) المحسوبة باستعمال المعادلين (1,2) ومن خلال النتائج اتضحت ان زيادة تركيز ايون (Sr^{+2}) يؤدي الى نقصان قيمة (V,c,a) ويعود ذلك الى أن نصف القطر الايوني لأيون (Sr^{+2}) اصغر من نصف القطر الايوني لأيون (Ba^{+2}) المستبدل والشكل رقم (4) يوضح تغير معلمات الشبيكة مع تغير تركيز ايون (Sr^{+2}) . وكذلك يبين الجدول ان النسبة تكون قيمتها اكبر من الواحد لجميع العينات مما يدل على وجود الطور الرباعي بالرغم من زيادة تركيز ايون (Sr^{+2}) .

الثالثة النظرية : باستعمال معادلة (3) تم حساب الكثافة النظرية من خلال طيف حيود الاشعة السينية اذ اتضحت من خلال النتائج المدرجة في جدول رقم (3) نقصان الكثافة النظرية بزيادة تركيز أيون (Sr^{+2}) وذلك بسبب تغلب الحجم على الكثافة المولية اذ ان متوسط تناقص حجم خلية الوحدة بزيادة تركيز أيون (Sr^{+2}) هو اكبر من متوسط تناقص الكثافة المولية بعدها ادى الى نقصان الكثافة النظرية والشكل رقم (5) يوضح العلاقة بين الكثافة النظرية المحسوبة من طيف حيود اشعاع السينية و تغير تركيز أيون (Sr^{+2}) .

خامساً . الحجم الحبيبي (Grain Size) : تم حساب الحجم الحبيبي باستعمال معادلة ديباي شرر (4) وذلك من خلال منتصف القمة الاعلى شدة (101) كما ايضاً حسب باستعمال معادلة ولیامسون - هول رقم (5) التي تأخذ بالحسبان الانفعالات المجهريه للشبكة البلورية ودرج النتائج في جدول رقم (4) ومن خلال النتائج اتضحت ان الحجوم الحبيبية في مدي الحجم النانوي كما لوحظ ان زيادة تركيز ايون Sr^{+2} ادى الى نقصان متوسط الحجم الحبيبي ولربما يعود السبب في ذلك الى ان نصف القطر الايوني (Ionic Radius) لأيون Sr^{+2} اصغر من نصف القطر الايوني لأيون Ba^{+2} وبما ان ايونات Sr^{+2} تحتل موقع ايونات Ba^{+2} في الشبكة البلورية ادى ذلك الى صغر المسافة بين الايونات وزيادة قوة كوكولوم . ومن خلال مقارنة نتائج الطريقتين تبين ان متوسط الحجم الحبيبي المحسوب من معادلة ولیامسون - هول اكبر من



الحجم الحبيبي المحسوب من معادلة ديباي شرر وسبب ذلك ان معادلة ولیامسون – هول قد اخذت بالحسبان تأثير الانفعال المجهري للشبیکة والذي بدوره يؤدي الى ازاحة موقع القم نحو الدرجات الاكبر عن مواقعها الاصلية لزوايا حيود براک (2θ) في البطاقة القياسية.

سادساً . فحص المجهر الالكتروني الماسح : باستعمال تقنية المجهر الالكتروني الماسح (SEM) تم تصوير العينتين (S₀, S₃) أذ اظهرت صور العينتين الشكل شبه الكروي الذي تتخذه حبيبات المركب النانوية كما هو موضح بالشكل رقم (6) ، وباستعمال برنامج (J-Image) وهو من البرامج التي تستعمل لتحليل الصور الذي يزودنا بملخص يتضمن متوسط مساحة الجسيمات الموجودة في الصورة ومن خلاله نحصل على متوسط الحجم الحبيبي (D) الموضح بالشكل (7) ، اذ كان متوسط الحجم الحبيبي للعينة S₀ (38.964 nm) ، والعينة S₃ (36.067 nm) . ومن خلال النتائج يتضح ان زيادة تركيز ايون (Sr⁺²) ادى الى نقصان متوسط الحجم الحبيبي وهذا السلوك وافق النتائج التي تم الحصول عليها سابقاً عند حساب متوسط الحجم الحبيبي من تقنية حيود الاشعة السينية (XRD) ولأسباب المذكورة نفسها .

الاستنتاجات

من طيف حيود الاشعة السينية يتضح تشكل الطور الرباعي لجميع العينات المحضرة بالرغم من استبدال ايون (Sr⁺²) بدل ايون (Ba⁺²) ولا توجد اطوار اخرى ظاهرة وهذا ما اكنته التصفية البرمجية لطيف حيود الاشعة السينية . ومن حساب قيمة الحجم الحبيبي تبين انه ضمن المدى النانوي لجميع العينات كما لوحظ ان زيادة تركيز ايون (Sr⁺²) ادى الى نقصان ثوابت الشبیکة وحجم خلية الوحدة والحجم الحبيبي والكثافة النظرية ومن خلال فحص المجهر الالكتروني الماسح تبين ان الحبيبات النانوية تتخذ شكلاً اشبه بالشكل الكروي . ومن خلال حساب الحجم الحبيبي من خلال صورة (SEM) باستعمال برنامج (J-Image) لوحظ تطابق النتائج التي تم الحصول عليها عند حساب متوسط الحجم الحبيبي من تقنية حيود الاشعة السينية (XRD) .



المصادر

1. Parviz, A.,(2011)," Synthesis and characterization of barium strontium Titanate (BST) micro/nanostructures prepared by improved methods",IJND,2(2), 85-103 .
2. سليمان محمد امين , (2010), "فيزياء الجوامد" , دار الفكر العربي , 313-311
3. Souza, A. E. , (2011)," Morphology and Properties of (Ba, Sr, Ca) Titanate Synthesized by Microwave-Assisted Hydrothermal Method" , IOP Publishing Ltd, (18),1-4.
4. Noor Jawad Ridha ,(2009)," Effect of Sr Substitution on Structure and Thermal Diffusivity of Ba_{1-x}Sr_xTiO₃ Ceramic " ,American J. of Engineering and Applied Sciences, 2(4),661-664.
5. Enhessarib, M.,(2011) , " Wet chemistry synthesis of stoichiometric barium strontium Titanate Nano rods, Ba_{1-x}Sr_xTiO₃ (BST) through acetic acid gel (AAG) technique" , Journal of Chemistry and Environment, 15(2),397-400 .
6. Teresa Hungri'a ,(2005) , " Dense, Fine-Grained Ba_{1-x}Sr_xTiO₃ Ceramics Prepared by the Combination of Mechanosynthesized Nano powders and Spark plasma sintering", chem. Mater, 17, 6205-6212 .
7. Yendrapati Taraka Prabhu,(2014) , " X-Ray Analysis by Williamson-Hall and Size-Strain Plot Methods of ZnO Nanoparticles with Fuel Variation", World Journal of Nano Science and Engineering,(2),21-28 .
- 8.Sabah, A. Salman,(2014)," Effect of annealing and doping with (Mo , V and Ni) elements oxides on structural properties of BaTiO₃ thin films", Diyala journal for pure science,2(10),98-114 .
9. Farouq, I. ;Hussain Qader,(2014) , " Structure ,Rietveld Refinement Study of BaCo_xTi_xFe_{12-2x}O₁₉ ferrite Using Powder XRD Analysis ",Ibn Al-Haitham Jour. for Pure & Appl. Sci,27(2),70-77 .
10. Vinila V. S. ,(2014), " XRD Studies on Nano Crystalline Ceramic Superconductor PbSrCaCuO at Different Treating Temperatures", Crystal Structure Theory and Applications,(3),1-9 .
11. Yendrapati Taraka Prabhu,(2013) , " X-Ray Analysis by Williamson-Hall and Size-Strain Plot Methods of ZnO Nanoparticles with Fuel Variation" , World Journal of Nano Science and Engineering,(4),21-28 .
12. McCusker L. B , (1999)," Rietveld refinement guidelines", J. Appl. Cryst,(32),36-50.
13. AL-Dhahir, T.A , (2013) , " Quantitative Phase Analysis for Titanium Dioxide From X-Ray Powder Diffraction Data Using The Rietveld Method",Diyala journal for pure sciences, 2(9),108-119.
14. Tariq, A. Al-Dhahir,(2014) , " Characterization of CdO film AFM and XRD Diffraction Using Rietveld Refinement", Ibn Al-Haitham Jour. for Pure & Appl. Sci,27(1),83-92 .

**الجدول (1):** يبين مواقع ذرات المركب BaSrTiO_3

Atom	BaSrTiO ₃		
	X	Y	Z
Ba	0	0	0
Sr	0	0	0
Ti	0.5	0.5	0.4820
O1	0.5	0	0.5150
O2	0.5	0.5	0.041

الجدول (2): يبين عوامل موثوقة تصفيية ريفيلد

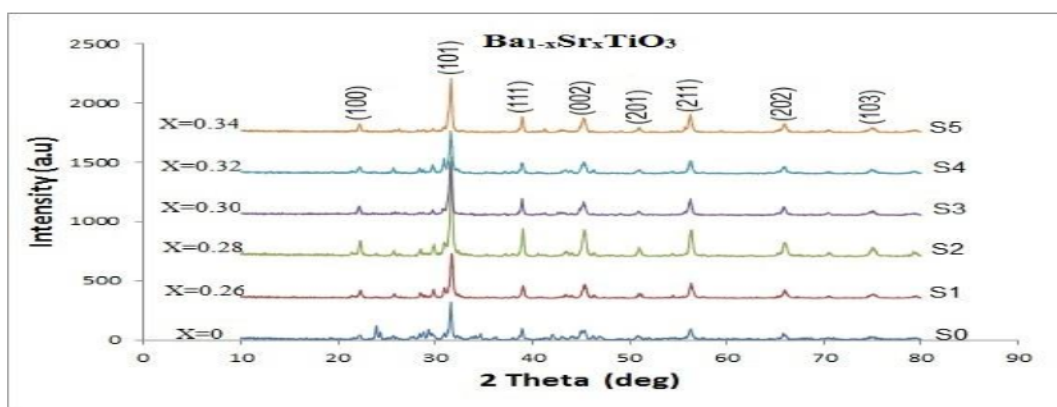
sample	X	R _p	R _{wp}	R _{exp}	χ^2	GOF	Space group	Phase
S0	0	35.7	46.6	39.6	3.33	1.82	P4mm	Tetragonal
S1	0.26	28.5	36.4	37.0	1.91	1.38	P4mm	Tetragonal
S2	0.28	27.0	35.2	36.9	1.94	1.39	P4mm	Tetragonal
S3	0.3	21.7	29.7	28.42	2.34	1.52	P4mm	Tetragonal
S4	0.32	28.4	37.6	36.9	2.04	1.43	P4mm	Tetragonal
S5	0.34	28.3	37.9	37.89	2.27	1.5	P4mm	Tetragonal

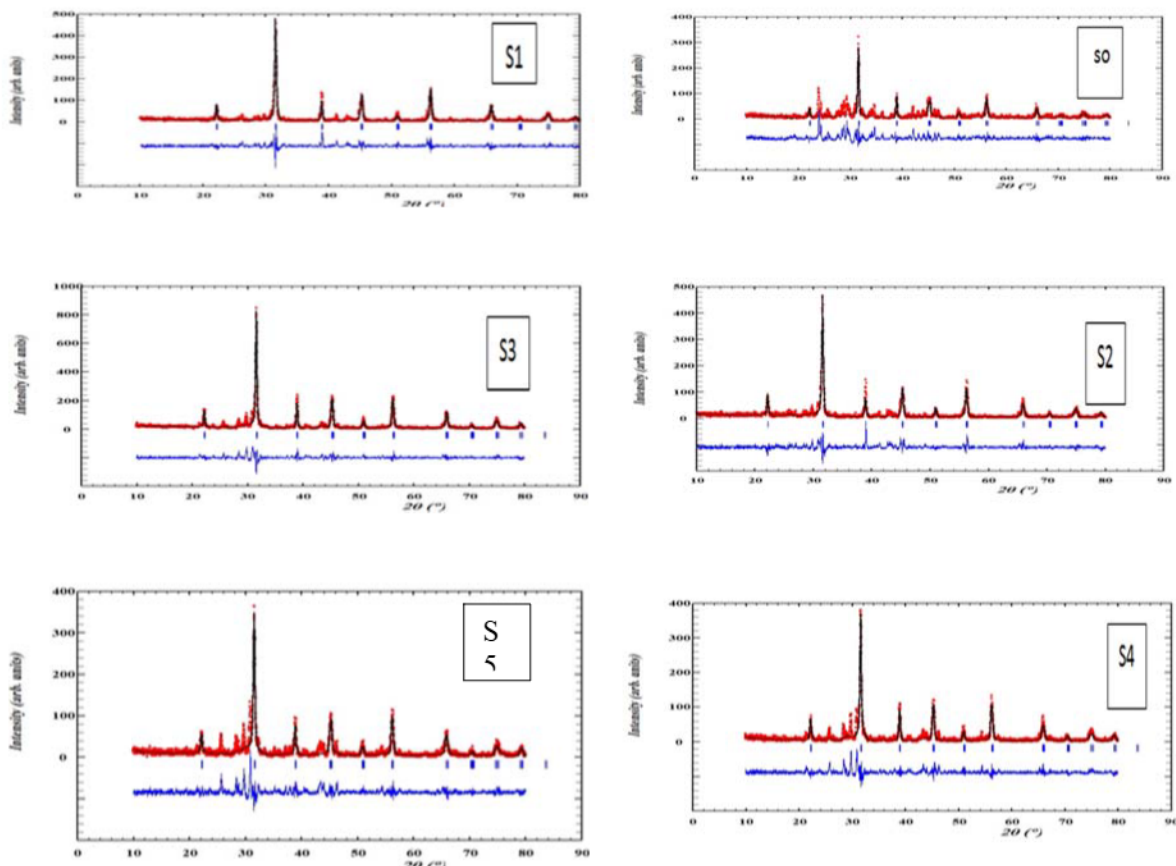
الجدول (3): يبين معلمات الشبيكة والكثافة النظرية لعينات المركب $(\text{Ba}_{1-x}\text{Sr}_x\text{TiO}_3)$

Sample	X	a (Å)	c (Å)	c/a	V (Å ³)	ρ_{x-ray} (g/cm ³)
S0	0.00	4.0017	4.0250	1.005823	64.45475	6.007700
S1	0.26	3.9980	4.0014	1.000850	63.95839	5.718783
S2	0.28	3.9970	4.0008	1.000951	63.91682	5.696676
S3	0.30	3.9960	4.0005	1.001126	63.88005	5.674114
S4	0.32	3.9890	3.9958	1.001705	63.58165	5.674778
S5	0.34	3.9850	3.9950	1.002509	63.44150	5.661295

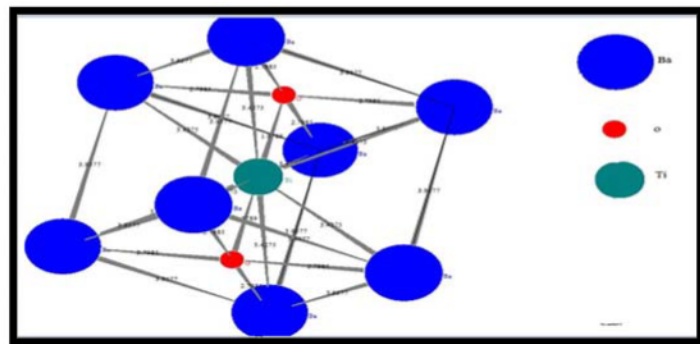
الجدول (4): يبين الحجم الحبيبي المحسوب من معادلة ديباي شرر ومعادلة ليامسون - هولو الانفعال الداخلي للشبيكة البلورية لعينات المركب $(\text{Ba}_{1-x}\text{Sr}_x\text{TiO}_3)$

Sample	X	D _{sh} (nm)	D _{w-H} (nm)	Strain*10 ⁻⁴
S0	0.00	42.2	44.7	8.75
S1	0.26	27.8	36.4	15.20
S2	0.28	26.8	34.6	7.50
S3	0.30	26.6	33.8	8.00
S4	0.32	24.1	33.0	14.75
S5	0.34	22.7	29.4	5.50

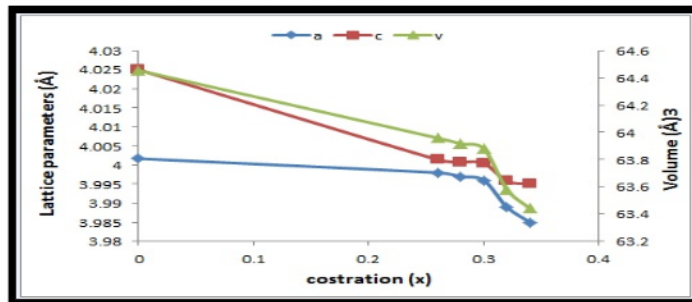
**الشكل (1):** يوضح طيف حيود الأشعة السينية لعينات المحضر



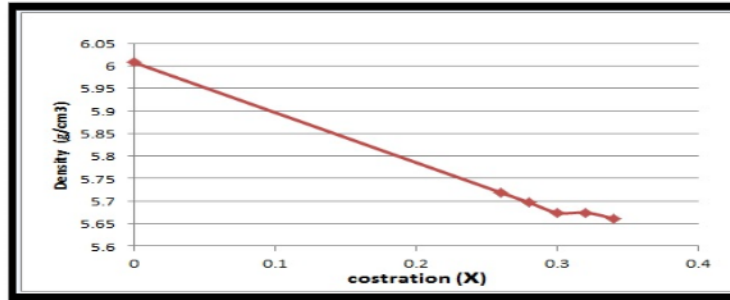
الشكل (2): الطيف الملاحظ والمحسوب لتصفيية البنية البلورية ، النقاط الحمراء تدل على الطيف الملاحظ والخط الأسود المتصل يدل على الطيف المحسوب والخط الأزرق يدل على الفرق بين الطيف الملاحظ والمحسوب والخطوط الزرقاء العاوموية تدل على موقع انعكاس براك



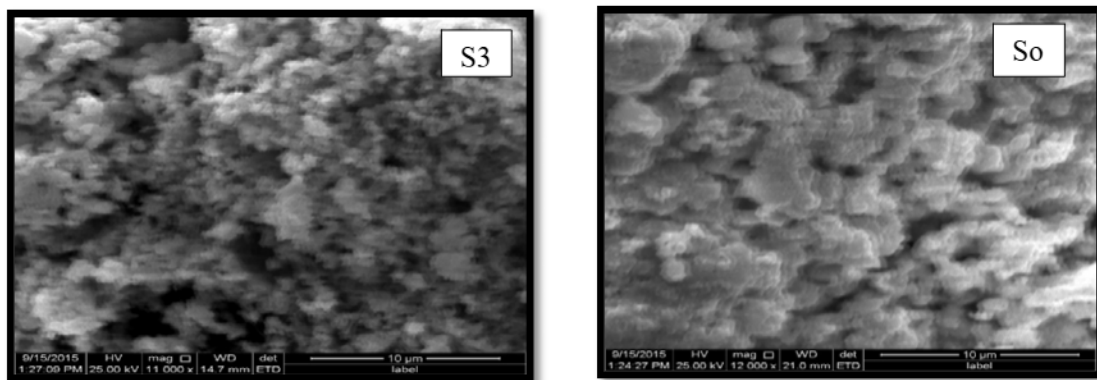
الشكل (3): يوضح موقع الذرات في الشبكة البلورية



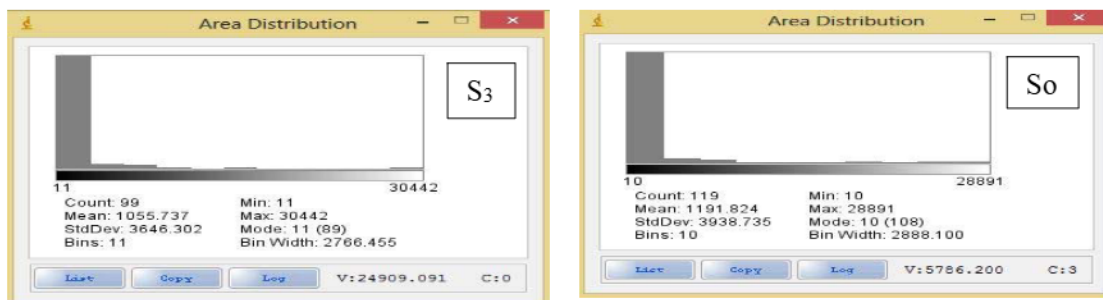
الشكل (4): يوضح تغير معلمات الشبكة مع تركيز أيون (Sr^{+2})



الشكل (5): يوضح تغير الكثافة مع تركيز أيون (Sr^{+2})



الشكل (6): صورة المجهر الإلكتروني الماسح للعينتين S3 وSo



الشكل (7): يوضح ملخص تحليل برنامج Image-J (SEM) لصورة (S3 وSo) للعينتين



Synthesis of Nano Compound ($Ba_{1-x}Sr_xTiO_3$) by Sol-Gel Method and Study its Structural Properties

Farouq I. Hussain

Firas M. Tuamaa

Dept. of Physics / College of Education for Pure Science/(Ibn Al-Haitham)/
University of Baghdad

Received in : 5/November/2015, Accepted in :31/January/2016

Abstract

The Nano compound ($Ba_{1-x}Sr_xTiO_3$) as ($X=0,0.26,0.28,0.30,0.32,0.34$) was synthesized by using sol-gel method, the structural properties of result compound were studied by using x-ray diffraction test (XRD) and scanning electron microscope (SEM). the results were exhibited and by using software indexing to x-ray diffraction pattern that all prepared samples possess tetragonal phase and there is not any other phases were existed. also the substitution process didn't change the phase of compound and increase in (Sr^{+2}) ion concentration leads to decrease lattice parameters (a,c) then the unite cell volume was decreased, as the particle size calculated from Debye-Scherrer and Williamson-Hall equations , and the calculated density from x-ray diffraction spectrum exhibited they were decreased with increase of (Sr^{+2}) ion concentration, and scanning electron microscope pictures showed that prepared particles take a shape-like spherical shape.

Key word : $BaSrTiO_3$,sol – gel , XRD, SEM, Rietveld refinement.